

ابزار ارتعاشی التراسونیک یکبعدی و دو بعدی*

سعید امینی^(۱)محمد رضا خسروجردی^(۲)مهدی محمدی مهر^(۳)

چکیده این تحقیق به طراحی و ساخت ابزار ارتعاشی تراش کاری و انجام آزمایش های مربوط می پردازد. ابتدا ابزار ارتعاشی یک بعدی با مود ارتعاشی خمی طراحی و ساخته شد. ابزار ارتعاشی یک بعدی همراه با پیزو الکتریک های نیم رینگ به منظور تحریک مود خمی ابزار طراحی گردید. این ابزار توسط نرم افزار آباکوس در فرکانس حدود ۲۰ کیلو هرتز طراحی و سپس با توجه به هنر اماده توسط اجزای محدود ساخته شد. در بخش بعدی ابزار ارتعاشی دو بعدی با مود بیضوی در نرم افزار آباکوس طراحی و سپس ساخته شد. آزمایش هایی در عملیات تراش کاری به کمک ابزار ارتعاشی یک بعدی با مود خمی و دو بعدی با مود بیضوی بر روی مس انجام شد و صحت عملکرد ابزارهای ساخته شده، بررسی گردید. نتیجه آن که با استفاده از ابزار ارتعاشی در فرایند تراش کاری کاهش چشم گیری در نیروی اصلی ماشین کاری به دست آمد.

واژه های کلیدی ابزار ارتعاشی یک جهت، ابزار ارتعاشی دو جهت، التراسونیک، ماشین کاری ارتعاشی، تراش کاری.

One and Two- Dimensional Ultrasonic Vibration Tool

S. Amini

M. R. Khosrojerdi

M. Mohammadimehr

Abstract This research is carried out to design and manufacturing of lathe vibration tool and their tests. Firstly, one-dimensional vibration tool is designed and made of the bending vibration mode. One-dimensional vibration tool with half piezoelectric rings is considered to excite the bending mode of tool. Structure of vibration tool is designed in Abaqus software about 20 KHz and then is made with respect to the best obtained geometry of tool for bending vibration mode. Finally, two- dimensional vibration tool is designed and made in Abaqus software for elliptical vibration mode. Also, experiment tests are done in turning operations using one- and two-dimensional vibrating tools with bending and elliptical modes on the copper, respectively and the accuracy of the made instruments is investigated. Results show that vibration tool in turning process reduces the main cutting force.

Key Words One dimensional vibration tool, Two dimensional vibration tool, Ultrasonic, Vibration tool, Turning.

* تاریخ دریافت مقاله ۹۲/۴/۴ و تاریخ پذیرش آن ۹۲/۱۱/۲۷ می باشد.

(۱) نویسنده مسئول: دانشیار گروه ساخت و تولید، دانشکده مهندسی مکانیک، دانشگاه کاشان. Amini.s@kashanu.ac.ir

(۲) دانشجوی کارشناسی ارشد گروه ساخت و تولید، دانشکده مهندسی مکانیک، دانشگاه کاشان.

(۳) استادیار گروه مکانیک جامدات، دانشکده مهندسی مکانیک، دانشگاه کاشان.

مقدمه

استاس ویکیوس انجام شد، این نتیجه به دست آمد که کیفیت سطح نهایی قطعه کار به طور زیادی به ارتعاش نوک ابزار بستگی دارد و این ارتعاش به وسیله تحریک یک مود ارتعاشی خاص ابزار تراش کاری ایجاد می شود. در این ابزار مود خمسی دوم، که در راستای نیروی برشی است، به وسیله مرتعش کردن پیزوالکتریک در راستای محور ابزار با فرکانسی مطابق فرکانس طبیعی به حالت تشدید می رسد و بدین وسیله زیری سطح و سایش ابزار کاهش می یابد [9]. ماشین کاری به کمک ارتعاش بیضوی برای اولین بار توسط شاموتو و موریوکی [10] ابداع شد. سپس این ابزار برای ماشین کاری مواد سخت برش استفاده شد که راندمان بالاتری در مقایسه با ماشین کاری سنتی داشت [11-13].

برینک سمیر و همکارانش با استفاده از یک عملگر پیزوالکتریک که ابزار برشی آن خارج از محور بسته شده است، یک حرکت بیضی شکل را در حالت تشدید ایجاد نمودند [14]. این کار سبب ایجاد یک ارتعاش دو بعدی در جهت پیشروی و عمق تراش می شود. این تحقیق صافی سطح و تأثیر مدت زمان درگیری ابزار با قطعه کار را در (Ultrasonic Assisted Turning) UAT حین عملیات بررسی نموده است که نمونه های استفاده شده از جنس فولاد کربنی CK 45 و آلمینیوم می باشند. همچنین عمر ابزار نیز در این تحقیق اندازه گیری شده است و موجب شده که عمر ابزار بهبود یابد. در پژوهش ما و همکاران [15]، سه حالت ماشین کاری به کمک ارتعاش بیضوی، ماشین کاری به کمک ارتعاش یک درجه آزادی و ماشین کاری سنتی (بدون ارتعاش) آزمایش شده و از نظر نیروی محوری و دقیق قطعات تولیدی مقایسه ای بین این سه روش صورت پذیرفت. سرنیوای [16] علاوه بر انجام آزمایش تجربی از ابزاری استفاده کرد که در آن از حالت تشدید ابزار استفاده نشده است. طراحی ابزار در این تحقیق به صورتی است که تقویت دامنه ارتعاش ابزار با کمک به تشدید رساندن ابزار (وارد کردن ارتعاش در فرکانس طبیعی ابزار) نبوده است، بلکه این تقویت با استفاده از اهرم های مکانیکی

با پیدایش مواد جدید مانند کامپوزیت ها، سوپر آلیاژ ها، آلیاژ های پایه تیتانیومی و پایه نیکلی و نیاز به ماشین کاری این گونه مواد، روش های ماشین کاری نیز توسعه یافت. یکی از این روش ها استفاده از ارتعاش التراسونیک در فرآیند تراش کاری است که به ماشین کاری ارتعاشی (Vibration Cutting-VC) یا تراش کاری به کمک ارتعاش التراسونیک (Ultrasonic Assister Turning UAT) معروف است [1-3]. در تراش کاری به کمک التراسونیک معمولاً ابزار برشی با یک فرکانس التراسونیک در جهت برش، تغذیه و یا شعاعی ارتعاش می کند که معمول ترین نوع آن، ارتعاش در جهت برش (VC) یا در جهات برش و شعاعی به صورت دو بعدی (EVC) Elliptical Vibration Cutting (EVC) می باشد. تحقیقات متعددی در این زمینه انجام شده است. رحمان و همکاران جداسدن ابزار از براده و از قطعه کار را در فرآیند ماشین کاری ارتعاشی بیضوی بیان کرده اند [4]. از آن جایی که هندسه ابزار، مخصوصاً شعاع نوک ابزار تأثیر زیادی بر روی راندمان ماشین کاری ارتعاشی یک بعدی دارد، چندین آزمایش تحقیقاتی در زمینه تأثیر شعاع نوک ابزار بر روی راندمان فرآیند EVC با بررسی نیروی برشی، سایش ابزار و پرداخت سطح نهایی، انجام داده اند. در این آزمایش ها تنگستن کاری باشد زیتر شده (WC) با استفاده از ابزار های PCD ماشین کاری شد. نتیجه این تحقیق، بهتر بودن شعاع 0.6 mm در مقایسه با سایر شعاع های نوک ابزار بود [6]. سونگ [7] در تحقیق دیگری کترل سایش ابزار در ماشین کاری با ابزار الماس تک کریستال را بر روی استیل انجام داد. و نتایج این تحقیق نشان داد که سایش ابزار الماس بیشتر به زمان تماس ابزار با قطعه کار در مقایسه با سرعت برشی بستگی دارد و به وسیله کاهش زمان تماس به کمتر از 0.3 ms سایش ابزار کاهش بسیاری می یابد. در تحقیق دیگری از سیال اتمیزه شده به وسیله گاز به همراه ابزار ارتعاشی التراسونیک برای برش آلیاژ تیتانیوم استفاده شد که کیفیت سطح نهایی قطعه کار بهبود پیدا کرد و سایش ابزار الماس کمتر شد [8]. در تحقیق دیگری که توسط

طراحی ابزار ارتعاشی یک جهته با مود خمشی و ساخت آن

به طور کلی سه نوع مود ارتعاشی برای ابزارهای ارتعاشی وجود دارد که عبارتند از طولی، خمشی و پیچشی که در این ابزارها از مود ارتعاشی خمشی و طولی استفاده شده است. در فرآیند تراش کاری نیز سه نوع ارتعاش می‌توان به ابزار داد که عبارتند از ارتعاش در جهت برش، تغذیه و شعاعی. به علت بهبود توانایی ماشین کاری در ابزارهای ارتعاشی که در جهت سرعت برشی مرتضیع می‌شوند، طراحی ابزار بیشتر در حالتی است که ارتعاش در جهت سرعت برشی ایجاد شود. به علت استفاده از مود طولی ارتعاشی در این گونه ابزارها، معمولاً به قید و بند مخصوصی نیاز است که فضای کاری مفید ماشین‌های تراش را محدود می‌کند [19]. لذا استفاده از مود خمشی برای ابزار ارتعاشی یک بعدی و تلفیق مود خمشی و طولی برای ابزار ارتعاشی دو بعدی برای بهبود عملکرد و قابل استفاده شدن صنعتی این گونه ابزارها در این تحقیق مورد توجه قرار گرفته است. طول این ابزار ارتعاشی در مقایسه با ابزارهای ارتعاشی قبلی کوتاه‌تر است، بنابراین میزان دمپینگ موجود در ابزار کاهش می‌یابد و امواج با راندمان بیشتری به نوک ابزار منتقل می‌شوند. در ابزار ارتعاشی با مود خمشی مانند مبدل التراسونیک ساندویچی لانگوین (Langwin) پیزوالکتریک‌ها تحت پیش‌تیش اولیه می‌باشند، لذا می‌توان آن را برای توانهای بالا طراحی کرد. در این ابزار جنس پشت‌بند، نگهدارنده ابزار برشی، مهره و پیچ از جنس فولاد (St 304)، مواد پیزوالکتریک استفاده شده از نوع PZT-4 مشخصات مواد استفاده شده برای ساخت این ابزار در جدول (۱) آورده شده است.

برای ایجاد مدل مبدل التراسونیک در نرم‌افزار اباکوس ابتدا یک مدل دو بعدی از مقطع هر قطعه ایجاد می‌شود و سپس حول محور Z دوران داده می‌شود تا قطعات مدل شوند. در این ابزار به منظور تحریک مود خمشی از

صورت گرفته است. شاموتو و هینو [17] ماشین کاری با ارتعاش التراسونیک بیضوی را بر روی تنگستن کارباید مورد بررسی قرار داد. در تحقیقات انجام شده بیشتر بر روی فرآیند ماشین کاری ارتعاشی کار شده است. امینی و همکاران در تحقیقات خود با استفاده از ابزار ارتعاشی، فرآیند تراش کاری به کمک ارتعاش التراسونیک را مورد بررسی قرار داده اند [18,19].

از تحقیقات انجام شده می‌توان نتیجه گرفت که ماشین کاری به کمک ارتعاش التراسونیک باعث بهبود توانایی ماشین کاری می‌گردد. بدین ترتیب باعث کاهش نیروی ماشین کاری، افزایش عمر ابزار، صافی سطح بهتر و دقت بالاتر قطعه کار می‌شود و توانایی ماشین کاری مواد با استحکام برشی بالا را بهبود می‌بخشد. ولی از آنجا که تحقیق‌های انجام شده بیشتر بر روی اثر فرآیند بوده است، بر روی طراحی ابزار ارتعاشی و بهبود شرایط طراحی و عملکرد آن به طوری که قابلیت نصب و استفاده از آن عملکرد یابد کمتر کار شده است. طراحی و ساخت ابزار ارتعاشی که بتواند به آسانی بر روی دستگاه تراش نصب گردد و در کاربردهای صنعتی از آن استفاده کرد کار جدیدی است که در این تحقیق به آن پرداخته شده است. در این مقاله ابزار ارتعاشی یک بعدی با مود خمشی و دو بعدی با مود خمشی و طولی که توسط پیزوالکتریک نیم‌رینگ و تمام‌رینگ تحریک می‌شود در نرم‌افزار اباکوس طراحی و تحلیل مودال شدنده و سپس با توجه به نتایج تحلیل این ابزارها ساخته شدند. ویژگی جدید این نوع ابزارها قابلیت نصب بر روی دستگاه تراش به صورت افقی و به شیوه ابزارهای سنتی را دارند. با اندازه‌گیری دامنه ارتعاش آن‌ها، ماشین کاری بر روی مس انجام شد. در نتیجه نیروی ماشین کاری توسط ابزارهای ارتعاشی یک بعدی با مود خمشی و دو بعدی با مود بیضوی در مقایسه با ماشین کاری معمولی کاهش یافت.

یکدیگر صفحه‌ای عایق از جنس تفلون (PTFE) به ضخامت 1 mm در بین آن‌ها قرار گرفته است. هم‌چنین به منظور جلوگیری از اتصال صفحات مسی به پیچ مرکزی ابزار، یک بوش تفلونی (PTFE) در بین پیچ و پیزوالکتریک‌ها قرار می‌گیرد. جهت پولاریزاسیون پیزوالکتریک‌ها در راستای محور Z می‌باشد و جریان الکتریکی وارد شده به نیم‌رینگ‌های پیزوالکتریکی بالا و نیم‌رینگ‌های پیزوالکتریکی پایین دارای ۱۸۰ درجه اختلاف فاز می‌باشد. در این حالت زمانی که پیزوالکتریک‌های بالا در حالت انبساط باشند، پیزوالکتریک‌های پایین در حالت انقباض هستند و بر عکس از آنجا که فرکانس این انبساط و انقباض با فرکانس طبیعی مود ارتعاشی خمثی مورد نظر برابر است، مود ارتعاشی خمثی به حالت تشدید می‌رسد.

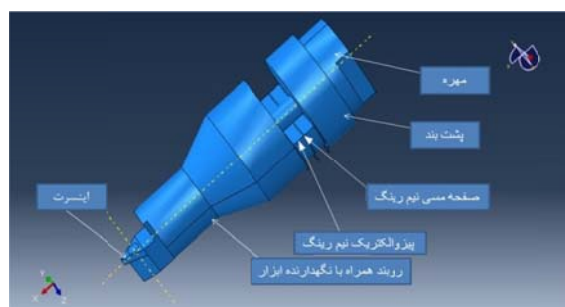
شکل (۲) شکل ارتعاش ابزار را تحت مود خمثی نشان می‌دهد.

پیزوالکتریک‌های نیم‌رینگ 4 PZT- استفاده شده است که به صورت متقارن نیم‌رینگ بالا و نیم‌رینگ پایین در بین پشت‌بند و نگهدارنده ابزار برشی می‌باشند که توسط پیچ مرکزی مطابق مبدل التراسونیک ساندویچی لانگوین تحت پیش‌نش قرار می‌گیرند. چیدمان پیزوالکتریک‌های مبدل التراسونیک در شکل (۱) نشان داده شده است.

در چیدمان پیزوالکتریک‌ها باید دقت کرد که سطوح مثبت پیزوالکتریک‌ها با یکدیگر و صفحات منفی پیزوالکتریک‌ها با بدنه ابزار در تماس باشند زیرا در این صورت قطب منفی جریان الکتریکی به بدنه ابزار وصل می‌شود. در بین سطوح تماس به منظور انتقال جریان الکتریکی به پیزوالکتریک‌ها، صفحات مسی نیم‌رینگ قرار گرفته است. صفحات مسی نیمهٔ بالایی مطابق پیزوسرامیک‌ها از نیمهٔ پایینی جدا می‌باشند و به منظور جلوگیری از اتصال صفحات مسی بالایی و پایینی به

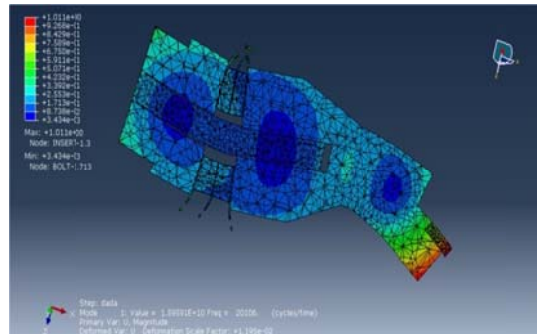
جدول ۱ مشخصات مواد ابزار ارتعاشی با مود خمثی [20]

نام قطعه	جنس	جگالی (kg/m ³)	ضریب پواسان	مدول الاستیسیته (Pa)
پشت‌بند(برای ابزار ارتعاشی یک‌بعدی)	SS304	7868	0.292	207e9
پشت‌بند، رویند و قطعه میانی(برای ابزار ارتعاشی دو‌بعدی)	AL7075T6	2823	0.33	77e9
پیچ مبدل التراسونیک	St304	7868	0.292	207e9
صفحات مسی	Copper	8910	0.3	120e9
رویند	St304	7868	0.292	207e9
صفحات پیزوسرامیکی	PZT4	7517	0.3	67.4e9
ابزار برشی	WC	15800	0.24	550e9
پیچ ابزار برشی	St304	7868	0.292	207e9

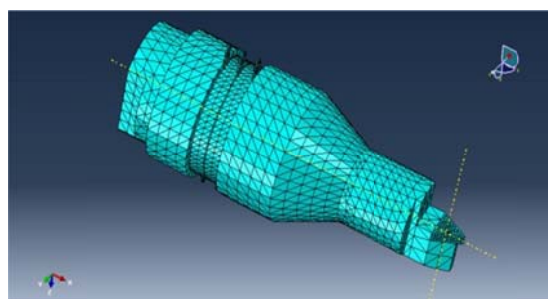


شکل ۱ نمایی از چیدمان پیزوالکتریک‌ها در ابزار ارتعاشی با مود خمثی

پس از مدل سازی ابزار، تحلیل مودال انجام شد که در اولین مرحله فرکانس مود خمی مورد نظر 16 KHz به دست آمد که پس از 300 مرحله تکرار تحلیل، بهترین شرایط برای ابزار ارتعاشی با مود خمی به گونه‌ای حاصل شد که فرکانس مودهای ارتعاشی موجود در این محدوده مطابق شکل (۴) به دست آمد و گرههای ارتعاشی در مکان‌هایی قرار گرفت که به راحتی می‌توان از آن‌ها به منظور بستن ابزار بر روی دستگاه تراش استفاده کرد. مود اول از نوع خمی با حداکثر دامنه در جهت محور Z است. فرکانس تشديد اين مود ارتعاشی 20106 Hz می‌باشد که در شکل (۵) نشان داده شده است. اگر این ابزار به صورت افقی بر روی دستگاه تراش نصب شود ارتعاش ابزار که از مود ارتعاشی اول ناشی می‌شود، در راستای سرعت برشی است، بنابراین مود ارتعاشی اول را بایستی تحریک کرد. مود دوم از نوع خمی با حداکثر دامنه در جهت محور Y است. فرکانس تشديد اين مود ارتعاشی 20143 Hz می‌باشد که در شکل (۶) نشان داده شده است. اگر این ابزار به صورت افقی بر روی دستگاه تراش نصب شود، ارتعاش ابزار که از مود ارتعاشی دوم ناشی شود در راستای تغذیه خواهد بود. بنابراین مود ارتعاشی دوم برای ابزار مورد نظر مناسب نیست.

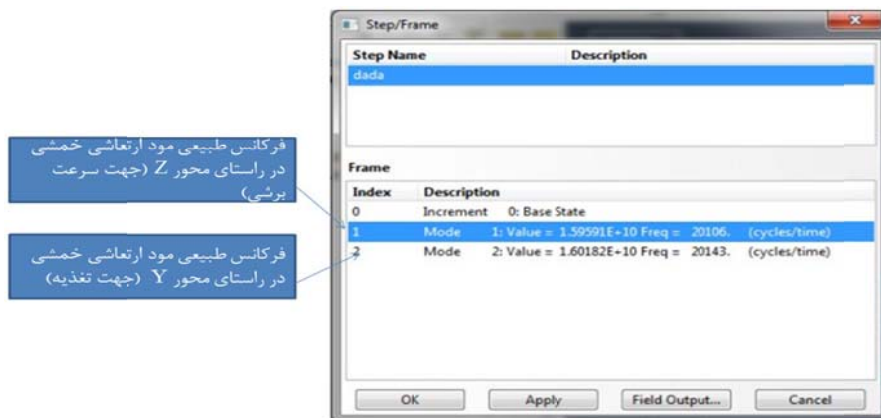


شکل ۲ مود ارتعاش خمی در ابزار

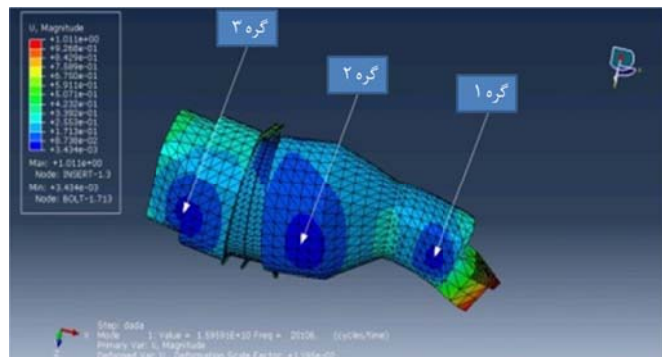


شکل ۳ مدل سازی ابزار در نرم افزار آباکوس

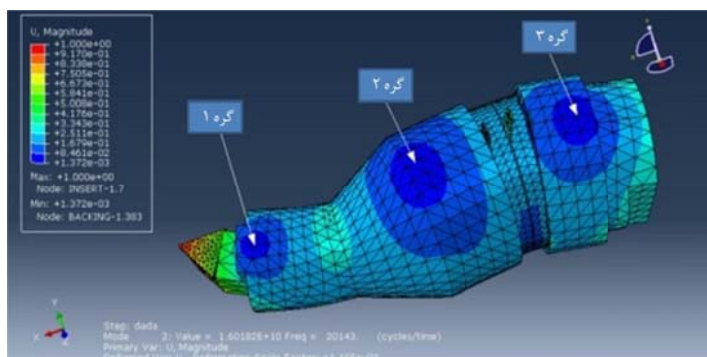
فرکانس‌های مورد نظر برای مودها در محدوده 16 KHz تا 25 KHz تنظیم شد و به منظور شبکه‌بندی ابزار برای انجام تحلیل اجزای محدود نوع مش TETRA و المان‌ها از نوع 3D stress 3D stress انتخاب گردید. در شکل (۳) ابزار مشبندی شده در نرم افزار آباکوس نشان داده شده است.



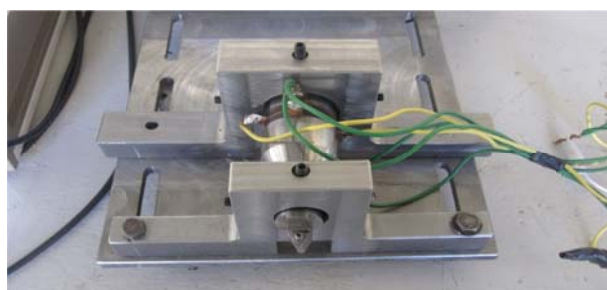
شکل ۴ فرکانس مودهای ارتعاشی حاصل از تحلیل اجزای محدود ابزار



شکل ۵ شکل مود ارتعاشی اول از نوع خمی در راستای Z



شکل ۶ شکل مود ارتعاشی دوم از نوع خمی در راستای Z

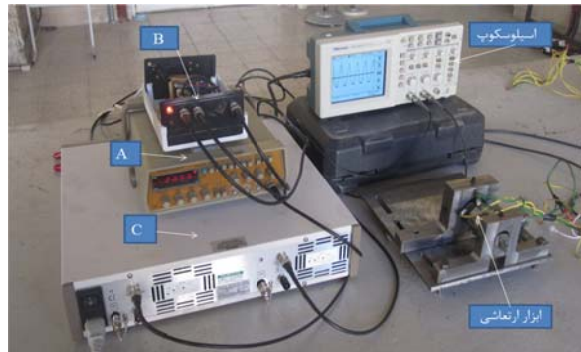


شکل ۷ ابزار ارتعاشی با مود خمی

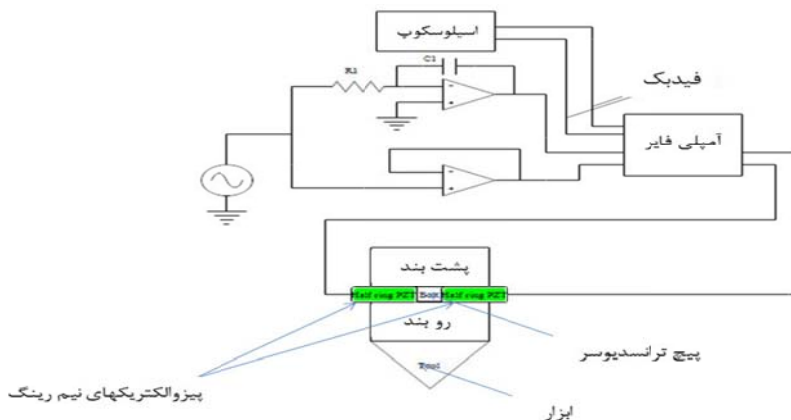
مطابق شکل (۸) تولید کننده موج (Function A) وظیفه ایجاد یک جریان سینوسی با فرکانس و دامنه مشخص را به عهده دارد و دستگاه B این جریان سینوسی خروجی از تولید کننده موج را به دو خروجی با درجه اختلاف فاز برای دو ورودی پیزو درایور C ۱۸۰ تبدیل می کند. پیزو درایور C این دو جریان ورودی را به دو جریان DC متناوب با اختلاف ۱۸۰ درجه برای تحریک پیزو الکتریک های نیم رینگ بالا و پایین تبدیل می کند. در شکل (۹) نمای شماتیکی از مدار کنترل ابزار ارتعاشی با مود خمی نشان داده شده است.

ساخت ابزار ارتعاشی یک بعدی با مود خمی و راه اندازی آن. براساس ابعاد به دست آمده از تحلیل المان محدود، ابزار ارتعاشی همراه با پیزو الکتریک های نیم رینگ ساخته شد. شکل (۷) ابزار ارتعاشی یک بعدی با مود خمی ساخته شده را نشان می دهد.

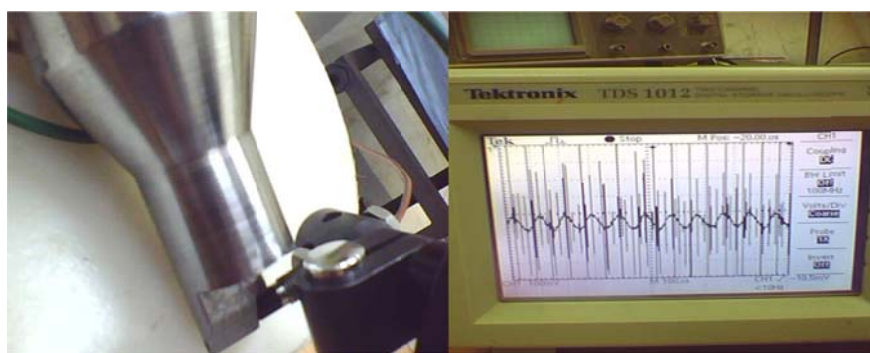
برای راه اندازی ابزار ارتعاشی از دستگاه پیزو درایو مدل PZD700 شرکت Treck و فانکشن ژنراتور مدل VG-4429 شرکت Hitachi استفاده گردید. شکل (۸) کنترل ابزار ارتعاشی را نشان می دهد.



شکل ۸ کنترل و راهاندازی ابزار ارتعاشی



شکل ۹ شماتیکی از مدار کنترل ابزار ارتعاشی با مود خمسی

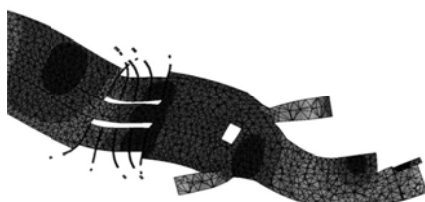


شکل ۱۰ اندازه‌گیری دامنه ارتعاش ابزار ارتعاشی با مود خمسی

و مقدار آن را بر روی دستگاه اسیلوسکوپ نشان می‌دهد. مطابق شکل (۱۰) دامنه ارتعاش اندازه‌گیری شده از kHz $32 \mu\text{m}$ (به صورت پیک تا پیک) و فرکانس آن $20/2$ می‌باشد.

برای اندازه‌گیری دامنه ارتعاش و فرکانس از حسگر اندازه‌گیری دامنه و قرکانس ارتعاش (Eddy Current Gap) (Applied sensor) مدل AEC-5509 ساخت شرکت Electronics استفاده گردید. شکل (۱۰) نحوه اندازه‌گیری

منفی پیزوالکتریک‌های کناری با بدنه ابزار در تماس باشند زیرا در این صورت قطب منفی جریان الکتریکی به بدنه ابزار وصل می‌شود. در بین سطوح تماس به‌منظور انتقال جریان الکتریکی به پیزوالکتریک‌ها، از صفحات مسی نیم‌رینگ استفاده شده است که مانند چیدمان پیزوالکتریک‌های نیم‌رینگ می‌باشد. صفحات مسی نیمة بالایی مطابق پیزوسرامیک‌ها از نیمة پایینی جدا می‌باشند. به‌منظور جلوگیری از اتصال صفحات مسی بالایی و پایینی به یکدیگر صفحه‌ای عایق از جنس تفلون (PTFE) به ضخامت 1 mm در بین آن‌ها قرار گرفته است. هم‌چنین به‌منظور جلوگیری از اتصال صفحات مسی به پیچ مرکزی ابزار، یک بوش تفلونی (PTFE) در بین پیچ و پیزوالکتریک‌ها قرار می‌گیرد. جهت پلاریزاسیون پیزوالکتریک‌ها در راستای محور Z می‌باشد و جریان الکتریکی سینوسی وارد شده به پیزوالکتریک‌های رینگی برای تحریک مود طولی و نیم‌رینگ‌های پیزوالکتریکی برای تحریک مود خمسمی دارای $\frac{\pi}{2}$ اختلاف فاز می‌باشد. هم‌چنین جریان الکتریکی سینوسی وارد شده به نیم‌رینگ‌های پیزوالکتریکی بالا و نیم‌رینگ‌های پیزوالکتریکی پایین دارای اختلاف فاز π نسبت به هم می‌باشد، زیرا در این حالت زمانی که پیزوالکتریک‌های بالا در حالت انبساط باشند، پیزوالکتریک‌های پایین در حالت انقباض هستند و بالعکس. فرکانس این انبساط و انقباض با فرکانس طبیعی مود ارتعاشی خمسمی مورد نظر برابر است. بنابراین، مود ارتعاشی خمسمی به حالت تشدید می‌رسد. این عمل در شکل (۱۲) نشان داده شده است. یک نمای شماتیکی از مدار کنترل ابزار ارتعاشی با مود خمسمی در شکل (۱۳) نشان داده شده است. مجموع این دو مود یک حرکت بیضوی شکل در توک ابزار ایجاد می‌کند که دارای حرکت در جهات برش و عمق برش فرآیند تراش کاری می‌باشد.



شکل ۱۲ عمل انبساط و انقباض در پیزوالکتریک‌های بالا و پایین

طراحی ابزار ارتعاشی دوجهه به مود بیضوی و ساخت آن

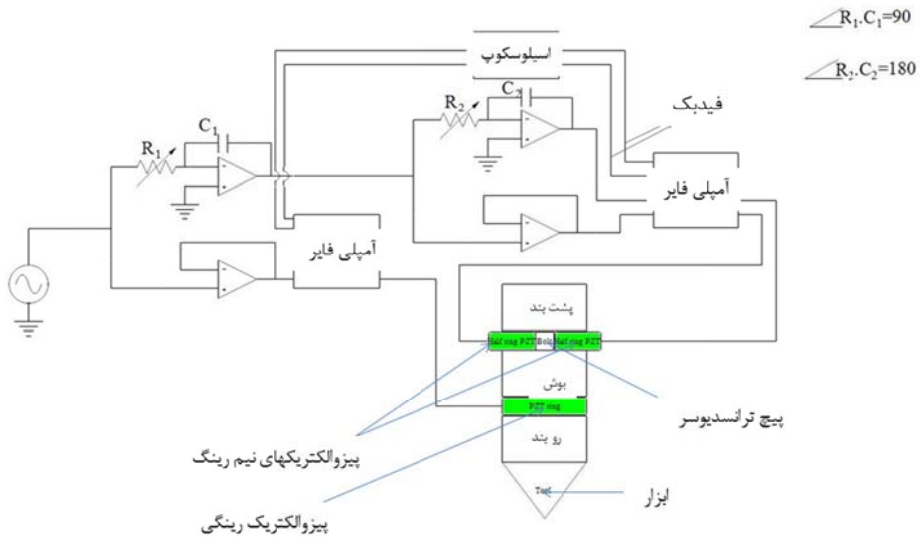
این ابزار دارای ارتعاش در دو جهت طولی و خمسمی می‌باشد بنابراین برای مبدل التراسونیک این ابزار به دو مود نیاز است که به اندازه کافی به یکدیگر نزدیک باشند و هم‌چنین برای تحریک این مبدل التراسونیک به دو سری پیزوسرامیک نیاز است. سری اول که در انتهای مبدل التراسونیک قرار دارد، برای تحریک مود طولی استفاده می‌شود. بنابراین در این قسمت از مبدل التراسونیک، رینگ کامل پیزوسرامیکی استفاده شده است. سری دوم پیزوسرامیک‌ها برای تحریک مود خمسمی استفاده می‌شوند. در این قسمت از نیم‌رینگ‌های پیزوسرامیکی استفاده شده است.

برای طراحی این مبدل التراسونیک ابتدا یک طرح کلی از مبدل التراسونیک با مود بیضوی در نرم‌افزار آباکوس ایجاد شده است و پس از گرفتن اولین آنالیز و تغییر هندسه، به‌منظور نزدیک کردن فرکانس‌های مود طولی و خمسمی، پس از حدود ۱۰۰۰ مرحله تحلیل، شرایط خوبی حاصل شد. پس از مدل کردن ابزار، خواص مواد مورد استفاده در قطعات ابزار برای تحلیل مودال وارد می‌شود که پارامترهای مواد مورد نیاز برای تحلیل مودال، چگالی، مدول الاستیسیته و ضریب پواسان می‌باشد. این پارامترها مطابق جدول (۱) می‌باشند. شکل (۱۱) ابزار ارتعاشی بهبودیافته را نشان می‌دهد.

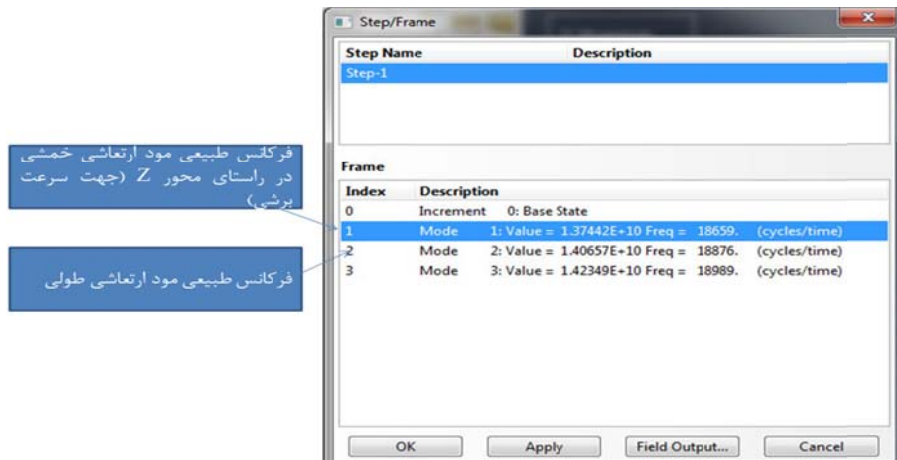


شکل ۱۱ ابزار ارتعاشی با مود بیضوی

پیزوالکتریک‌های نیم‌رینگ از جنس PZT4 هستند. نیم‌رینگ در نیمة بالایی و نیم‌رینگ دیگر در نیمة پایینی ابزار نصب شده است. در چیدمان پیزوالکتریک‌ها باید دقت کرد که سطوح مثبت پیزوالکتریک‌ها با یکدیگر و صفحات



شکل ۱۳ شماتیکی از مدار کنترل پیزوالکتریک‌های تحریک‌کننده ابزار ارتعاشی با مود بیضوی



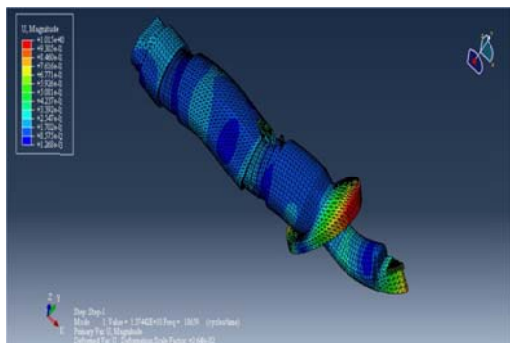
شکل ۱۴ نتایج تحلیل مودال

نوع طولی است و فرکانس تشذید آن 18876 Hz است. شکل‌های (۱۶ و ۱۵)، شکل مود و دامنه ارتعاش را برای دو مود نشان می‌دهند. مطابق شکل‌های (۱۶ و ۱۵)، ملاحظه می‌شود که در این آنالیز هیچ مود ارتعاشی بین مود طولی و خمثی وجود ندارد و فاصله بین دو مود به کمترین مقدار خود (217 Hz) رسیده است. بنابراین، طراحی این ابزار برای ماشین‌کاری ارتعاشی مناسب است.

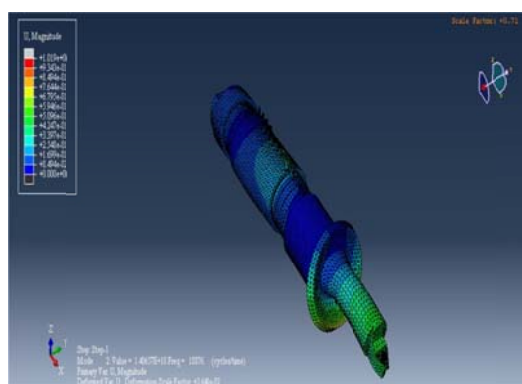
پس از مشبندی تحلیل انجام شد که ابزار در محدوده 15 KHz تا 25 KHz دارای سه مود ارتعاشی است که در شکل (۱۴) آورده شده است. از این سه مود ارتعاشی به دست آمده دو مود اول برای کاربرد مورد نظر مناسب هستند که به صورت زیر می‌باشد:

مود یک، یک مود خمثی در جهت مورد نظر (Z) است و فرکانس تشذید آن 18659 Hz می‌باشد. مود دو از

تحریک مود طولی و مود خمشی دارای $2/\pi$ اختلاف فاز نسبت به هم می‌باشد که در نتیجه این عمل یک ارتعاش بیضوی شکل در نوک ابزار ارتعاشی با مود بیضوی ایجاد می‌شود. برای این منظور از یک پیزودرایور (Piezo Driver) دو کanal استفاده شد که یک کanal آن به پیزوسرامیک‌های انتهایی برای تحریک مود طولی و کanal دیگر به پیزوسرامیک‌های جلویی برای تحریک مود خمشی وصل می‌شود. در ورودی این پیزودرایور یک مدار به گونه‌ای طراحی شده است که بین دو کanal پیزودرایور $2/\pi$ اختلاف فاز ایجاد کند. تجهیزات کنترلی این ابزار ارتعاشی تراش کاری با مود بیضوی در شکل (۱۷) آورده شده است که تولید کننده موج یک جریان سینوسی برای مدار طراحی شده تولید می‌کند و سپس مدار طراحی شده این جریان را به دو کanal برای پیزودرایور تبدیل می‌کند و سپس خروجی پیزودرایور به مبدل التراسونیک متصل شده است. برای نشان دادن این که ابزار در حالت تشديد است از یک اسیلوسکوپ استفاده می‌شود. توسط حسگر اندازه‌گیری دامنه ارتعاش ادی کارت، دامنه ارتعاش ابزار در دو جهت $15 \mu\text{m}$ اندازه‌گیری شد (شکل ۱۵).



شکل ۱۵ شکل مود و توزیع دامنه مود یک

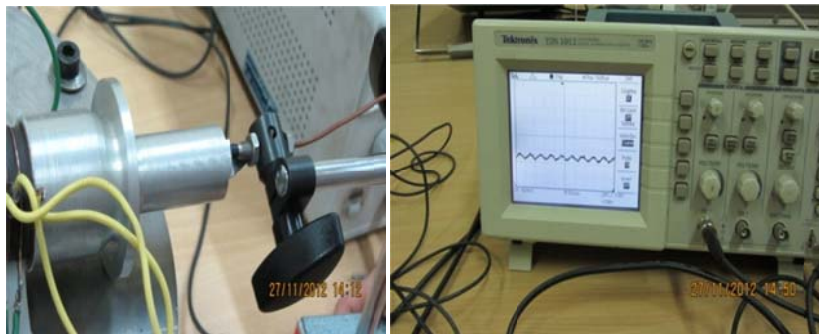


شکل ۱۶ شکل مود و توزیع دامنه مود دو

ساخت ابزارهای ارتعاشی دوبعدی و راه‌اندازی آن. پس از مونتاژ این قطعات و ساخت ابزار ارتعاشی با مود بیضوی،



شکل ۱۷ تجهیزات کنترلی ابزار ارتعاشی تراش کاری با مود بیضوی



شکل ۱۸ اندازه‌گیری دامنه ارتعاش ابزار ارتعاشی دوبعدی

جدول ۲ مشخصات تجهیزات مورد استفاده برای انجام آزمایش‌ها

مشخصات	مدل و سازنده	
توان ۵/۵ کیلو وات	TN50 ماشین‌سازی تبریز	دستگاه تراش
اندازه گیری نیرو تا ۱۰ کیلو نیوتون و حداقل میزان اندازه گیری ۰.۰۵ نیوتون	9257B کیستلر	دینامومتر
با میزان اندازه گیری ۰.۰۱ میکرومتر	PS1 ماهر	زبری سنج
با فرکانس صفر تا ۵ مگا هرتز	VG-4429 هیتاچی	تولید کننده موج
با میزان اندازه گیری یک میکرومتر	ایسون	دستگاه VMM

قطعه کار.

در جدول (۳) تجهیزات و مشخصات مربوط برای انجام آزمایش‌ها آورده شده است.

آزمایش ابزار ارتعاشی یک بعدی با مود خمسی. شکل (۱۹) آماده‌سازی آزمایش‌ها برای تأیید عملکرد ابزار ارتعاشی را نشان می‌دهد. همان‌طور که در شکل (۱۹) مشاهده می‌شود ابزار ارتعاشی به صورت ابزار سنتی بر روی دستگاه تراش نصب شده است. و دینامومتر نیز در زیر پایه ابزار قرار گرفته است. محل گرفتن ابزار در ابزار گیر، نقاط گره ارتعاشی می‌باشد، زیرا در این نقاط ابزار دارای هیچ گونه ارتعاشی نیست و هم‌چنین ابزار گیر تأثیری بر روی فرکانس طبیعی ابزار ندارد. ماشین‌کاری ارتعاشی بر روی مسن انجام شد. شرایط ماشین‌کاری مسن در جدول (۳) آورده شده است. حین انجام عملیات ماشین‌کاری ارتعاشی، نیروی ماشین‌کاری در جهت برخی (از آن جایی که ارتعاش

انجام آزمایش‌ها

به منظور تأیید عملکرد ابزار ارتعاشی یک بعدی و دوبعدی آزمایش‌های مربوط بر روی دستگاه تراش انجام گردید. در انجام این آزمایش‌ها از تجهیزات زیر استفاده گردید:

- دستگاه تراش با مدل TN50 ساخت ماشین‌سازی تبریز، برای انجام عملیات تراش کاری.

- دستگاه دینامومتر یا مدل 9257B ساخت شرکت کیستلر، برای اندازه گیری نیروی ماشین کاری.

- دستگاه زبری سنج با مدل PS1 ساخت شرکت ماهر، برای اندازه گیری زبری سطح قطعه کار.

- پیزودرایو مدل PZD700 ساخت شرکت Trek، جهت تحریک پیزوالکترویک ها.

- تولید کننده موج مدل VG-4429 ساخت شرکت هیتاچی، برای ارسال پالس با فرکانس مورد نظر.

- دستگاه اندازه گیری نوری VMM، برای مشاهده سطح

اصلی ماشین کاری (نیروی برشی) نیز به صورت قابل توجهی کاهش پیدا کرده است که باعث افزایش عمر ابزار برشی می شود.

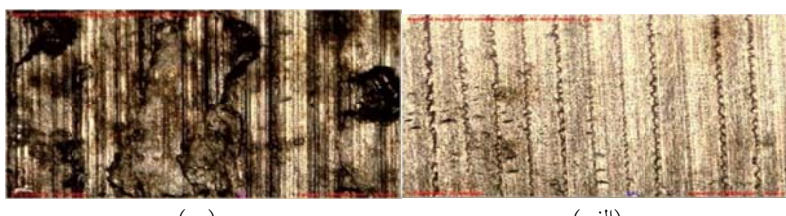


شکل ۱۹ آماده سازی آزمایش با ابزار یک بعدی

ابزار نیز در همین راستا است) اندازه گیری شد. در شکل (۲۰) سطوح ماشین کاری شده به شیوه معمولی و ارتعاشی یک بعدی نشان داده شده است. همان طور که در شکل (۲۰-الف) مشاهده می شود چاله هایی بر روی سطح ماشین کاری شده مس قرار دارد که اثر تشکیل و جدا شدن لبه انباشته است ولی در تراش کاری به کمک ارتعاشات التراسونیک یک بعدی (شکل ۲۰-ب) به دلیل این که لبه انباشته تشکیل نمی شود، سطح کاملاً صاف می باشد و ماشین کاری معمولی $1/95$ و ماشین کاری ارتعاشی $1/5$ میکرومتر است. نتایج نیرویی در جدول (۵) آورده شده است. مطابق جدول (۵)، با استفاده از ابزار ارتعاشی در فرآیند تراش کاری، علاوه بر بهتر شدن صافی سطح نیروی

جدول ۳ شرایط ماشین کاری ارتعاشی مس

سرعت اسپیندل (rev/min)	۸
سرعت پیشروی (m/rev)	۰/۰۸
ابزار WC	$\gamma_0 = 0^\circ, \alpha_0 = 15^\circ, \kappa\gamma = 45^\circ, \kappa\gamma = 45^\circ, r_e = 1.2\text{mm}$
فرکانس (kHz)	۲۱/۴۷
جنس قطه کار	مس با قطر 38 mm میلی متر با قطر 20 mm میلی متر
a(mm)	۰/۴
دامنه ارتعاشات μm	۳۲



شکل ۲۰ سطوح ماشین کاری شده مس به شیوه (الف) معمولی (ب) ارتعاشی یک بعدی

جدول ۴ شرایط ماشین کاری ارتعاشی دو بعدی مس

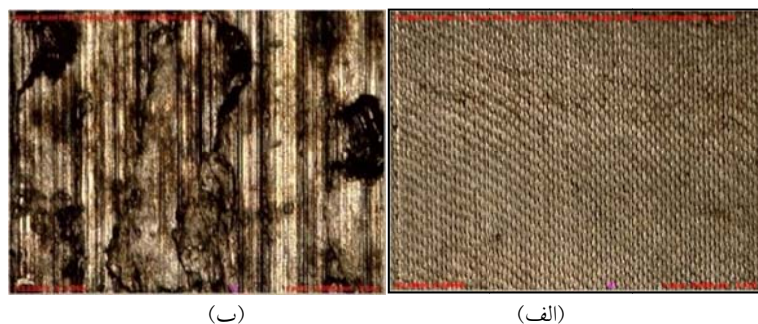
سرعت اسپیندل (rev/min)	۲۰
سرعت پیشروی (m/rev)	۰/۰۸
ابزار WC	$\gamma_0 = 0^\circ, \alpha_0 = 15^\circ, \kappa\gamma = 45^\circ, \kappa\gamma = 45^\circ, r_e = 1.2\text{mm}$
فرکانس (kHz)	۱۸/۸
جنس قطه کار	مس
قطر قطعه کار (mm)	۳۸
a(mm)	۰/۴
دامنه ارتعاشات μm	۱۵

جدول ۵ نیروهای ماشین کاری مس با ابزارهای ارتعاشی یک جهته و دو جهته

شرایط تراش کاری	نیروی برشی (N)	نیروی پیش روی (N)	نیروی شعاعی (N)
تراش کاری معمولی	۷۰	۴۲/۶	۱۲/۵
تراش کاری با ابزار ارتعاشی یک جهته	۵۵	۲۶/۶	۱۱/۷
تراش کاری یا ابزار ارتعاشی دو جهته	۱۰/۵	۸	۴/۲



شکل ۲۱ ابزار ارتعاشی دوبعدی نصب شده بر روی دستگاه تراش



شکل ۲۲ سطوح ماشین کاری شده مس به شیوه (الف) ارتعاشی و (ب) معمولی

شده مس به شیوه معمولی و ارتعاشی دوبعدی نشان داده شده است. همان طور که در شکل (۲۲-ب) مشاهده می شود چاله هایی بر روی سطح ماشین کاری شده مس قرار دارد که اثر تشکیل و جدا شدن لبه آنباشته است ولی در تراش کاری به کمک ارتعاشات التراسونیک دوبعدی (شکل ۲۲-الف) به دلیل این که لبه آنباشته تشکیل نمی شود، سطح کاملاً صاف می باشد و Ra ماشین کاری معمولی $1/95$ و ماشین کاری ارتعاشی $0/75$ میکرومتر است.

آزمایش ابزار ارتعاشی دوبعدی با مود بیضوی. شکل (۲۱) ابزار ارتعاشی یا مود بیضوی نصب شده بر روی دستگاه تراش را نشان می دهد. این ابزار در نقاط گره ارتعاشی ابزار توسط ابزار گیر مهار شده است. ماشین کاری بر روی مس انجام شد. شرایط ماشین کاری مس در جدول (۴) آورده شده است. در جدول (۵) نیروهای ماشین کاری و زیری سطح حاصل از ماشین کاری معمولی، ماشین کاری ارتعاشی یک بعدی و ماشین کاری ارتعاشی دوبعدی بر روی مس مقایسه شده است. در شکل (۲۲) سطوح ماشین کاری

نتیجه گیری

کرد و به دلیل ارتعاش منظم این ابزار، نیروها به طور چشمگیری کاهش می‌یابد. سپس یک ابزار ارتعاشی تراش کاری التراسونیک بیضوی در نرم افزار اجزای محدود آباکوس به گونه‌ای طراحی شد که مود خمشی و طولی مورد نظر دارای حداقل فاصله فرکانسی باشند، به طوری که در عمل بتوان این دو مود ارتعاشی را در یک فرکانس به حالت تشدید رساند. در این ابزار از یک سری پیزوالکتریک رینگی در انتهای ابزار برای تحریک مود طولی و یک سری پیزوالکتریک نیمرینگ در جلوی ابزار برای تحریک مود خمشی استفاده شده است. ارتعاش طولی و خمشی دارای اختلاف فاز $2/\pi$ می‌باشند که باعث ایجاد یک ارتعاش بیضوی در نوک ابزار می‌شود. در نهایت از این ابزار برای تراش کاری مس استفاده شد که نیروهای ماشین کاری را کاهش داد و هم‌چنین کیفیت سطح قطعه نیز بهبود پیدا کرد.

هدف از این تحقیق طراحی و ساخت ابزار ارتعاشی التراسونیک به صورت یک بعدی و دو بعدی می‌باشد. پس از ساخت ابزارها، آزمایش‌هایی برای سنجش آن‌ها در فرآیند تراش کاری انجام گرفت. بدین منظور ابتدا ابزار ارتعاشی با مود خمشی و سپس ابزار ارتعاشی با مود بیضوی ساخته شد. ابزار ارتعاشی یک‌جهته با مود خمشی که ارتعاش آن در جهت برش است و دارای طراحی جدید و کارآمدی است و قابلیت صنعتی شدن را دارد طراحی و ساخته شد. این نوع ابزار به دلیل این‌که همانند مبدل التراسونیک ساندویچی لانگوین پیزوالکتریک‌ها تحت پیش‌نش اولیه است توان آن قابل افزایش است و هم‌چنین می‌توان تعداد پیزو الکتریک‌ها را افزایش داد و به دلیل کوتاه بودن طول ابزار، می‌توان آن را به راحتی بر روی دستگاه تراش نصب

مراجع

1. Xiao, M., Sato, K., Karube, S. and Soutome, T., "The effect of tool nose radius in ultrasonic vibration cutting of hard metal", *International Journal of Machine Tools and Manufacture*, Vol. 43, pp. 1375-1382, (2003).
2. Xiao, M., Wang, Q. M., Sato, K., Karube, S., Soutome, T. and Xu, H., "The effect of tool geometry on regenerative instability in ultrasonic vibration cutting", *International Journal of Machine Tools and Manufacture*, Vol. 46, pp. 492-499, (2006).
3. Moriwaki, T., Shamoto, E. and Inoue, K., "Ultraprecision Ductile Cutting of Glass by Applying Ultrasonic Vibration", *CIRP Annals - Manufacturing Technology*, Vol. 41, pp. 141-144, (1992).
4. Nath, C., Rahman, M. and Neo, K. S., "A study on ultrasonic elliptical vibration cutting of tungsten carbide", *Journal of Materials Processing Technology*, Vol. 209, pp. 4459-4464, (2009).
5. Nath, C., Rahman, M. and Neo, K. S., "Machinability study of tungsten carbide using PCD tools under ultrasonic elliptical vibration cutting", *International Journal of Machine Tools and Manufacture*, Vol. 49, pp. 1089-1095, (2009).
6. Nath, C., Rahman, M. and Neo, K. S., "A study on the effect of tool nose radius in ultrasonic elliptical vibration cutting of tungsten carbide", *Journal of Materials Processing Technology*, Vol. 209, pp. 5830-5836, (2009).
7. Song, Y., Nezu, K., Park, C.-H. and Moriwaki, T., "Tool wear control in single-crystal diamond cutting of steel by using the ultra-intermittent cutting method", *International Journal of Machine Tools and Manufacture*, Vol. 49, pp. 339-343, (2009).
8. Zhou, Z., Zhang, Y., Li, X. and Sun, B., "Application of gas-fluid atomization technology in

- ultrasonic vibration cutting titanium alloy workpiece", *Acoustical Physics*, Vol. 55, pp. 925-928, (2009).
9. Ostasevicius, V., Gaidys, R., Rimkeviciene, J. and Dauksevicius, R., "An approach based on tool mode control for surface roughness reduction in high-frequency vibration cutting", *Journal of Sound and Vibration*, Vol. 329, pp. 4866-4879, (2010).
 10. Shamoto, E. and Moriwaki, T., "Study on Elliptical Vibration Cutting", CIRP Annals - Manufacturing Technology, Vol. 43, pp. 35-38, (1994).
 11. Shamoto, E. and Moriwaki, T., "Ultraprecision Diamond Cutting of Hardened Steel by Applying Elliptical Vibration Cutting", CIRP Annals - Manufacturing Technology, Vol. 48, pp. 441-444, (1999).
 12. Shamoto E, Moriwaki, T., "Ultra-precision Ductile Cutting of Glass by Applying Ultra-sonic Elliptical Vibration Cutting", Proceedings of 1st International Conference and General Meeting of EUSPEN, pp. 408-411, 5 sep., (1999).
 13. Suzuki, N., Haritani, M., Yang, J., Hino, R. and Shamoto, E., "Elliptical Vibration Cutting of Tungsten Alloy Molds for Optical Glass Parts", CIRP Annals - Manufacturing Technology, Vol. 56, pp. 127-130, (2007).
 14. Gläbe, R., Brinksmeier, E., "Elliptical Vibration Cutting of Steel with Diamond Tools", LFM Laboratory for Precision Machining, University of Bremen, Bremen.
 15. Moriwaki, T., Ma, C., Shamoto, E. and Wang, L., "Study of machining accuracy in ultrasonic elliptical vibration cutting", *International Journal of Machine Tools and Manufacture*, Vol. 44, pp. 1305-1310, (2004).
 16. Cerniway, M. A., "Elliptical Diamond Milling: Kinematics, Forces and Tool Wear", Department of Mechanical and Aerospace Engineering, North Carolina State University, (2001).
 17. Suzuki, N., Shamoto, E. and Hino, R., "Analysis of 3D elliptical vibration cutting with thin shear plane model", CIRP Annals - Manufacturing Technology, Vol. 57, pp. 57-60, (2008).
 18. Amini, S., Soleimanimehr, H., Nategh, M.J., Abudollah, A. and Sadeghi, M.H., "FEM analysis of ultrasonic-vibration-assisted turning and the vibratory tool", *Journal of Materials Processing Technology*, Vol. 20, pp. 43-47, (2007).
 19. Amini, S., Soleimanimehr, H. and Nategh, M.J., "Application of DOE for modeling surface roughness in ultrasonic vibration turning", *Journal of Mechanics*, (2009).
 20. <http://www.matweb.com>, (2014).